

Tabela V - Extração de Fe e Al da amostra de pó de quartzo com HCl 6N em temperatura de 90°C.

| Tempo de Lixiviação (min) | Teor de Fe (ppm) | Teor de Al (ppm) | Extração (%) | |
|---------------------------|------------------|------------------|--------------|-------|
| | | | Fe | Al |
| 30 | 8,0 | 54,4 | 58,00 | 41,52 |
| 90 | 8,0 | 53,0 | 58,00 | 43,01 |
| 210 | 7,2 | 52,1 | 62,00 | 44,00 |

Tabela VI - Extração de Fe e Al da amostra de pó de quartzo com HCl 9N em temperatura 90°C.

| Tempo de Lixiviação (min) | Teor de Fe (ppm) | Teor de Al (ppm) | Extração (%) | |
|---------------------------|------------------|------------------|--------------|-------|
| | | | Fe | Al |
| 30 | 4,6 | 46,7 | 76,00 | 49,76 |
| 90 | 4,8 | 41,6 | 75,00 | 55,26 |
| 210 | 4,0 | 40,0 | 76,00 | 56,00 |

*Síntese de Derivados
Quinoxalínicos Usados
como Reagentes
Analíticos na
Complexação Seletiva de
Metais*

DESTAQUE

Jeferson Borghetti Soares
Bolsista de Inic. Científica, Eng. Química, UFRJ

Rosângela B. da Silva
Orientadora, Quím. Industrial, M.Sc.

1. INTRODUÇÃO

Fazendo parte do sistema de diazina encontra-se a classe das quinoxalinas (Figura 1), também conhecida como benzopirazina. Quinoxalinas são compostos biologicamente ativos. Muitos dos seus derivados apresentam propriedades tais como, anti-inflamatória, antidepressiva, tranquilizante, bactericida, fungicida, antialérgica e outras (SAKATA, 1988).

Outra importante aplicação dos derivados quinoxalínicos tem sido no campo analítico, principalmente na área de análise inorgânica. A 2,3-dihidroquinoxalina, em solução levemente básica, é utilizada como reagente para metais alcalinos e alcalino-terrosos, sendo específica para bário e cálcio. A 5,8-dihidroxi-2,3-dimetilquinoxalina complexa com diversos metais, tais como

cobalto, índio, zinco, cádmio, mercúrio, e forma precipitados coloridos insolúveis em clorofórmio. Vários outros derivados apresentam grande aplicabilidade como complexantes de metais (ASUERO, 1985).



Figura 1 - Classe das quinoxalinas

2. OBJETIVO

Este projeto tem por objetivo sintetizar reagentes analíticos, não disponíveis comercialmente, capazes de atuar como complexantes seletivos de metais, visando a funcionalização (fase ligada) desses reagentes em matrizes poliméricas e em sílica gel, tornando possível a sua utilização em sucessivas operações de recuperação de metais em amostras líquidas e em amostras de ar.

3. PROPOSTAS SINTÉTICAS

3.1 A Partir de O-Diaminas Aromáticas

A síntese clássica envolve a condensação de o-diaminas aromáticas com um composto α -dicarbonílico (Figura 2).

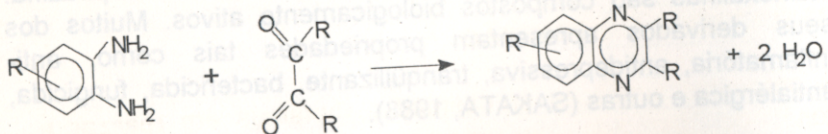


Figura 2 - Esquema de condensação de o-diaminas aromáticas com um composto α -dicarbonílico.

Este método é muito utilizado na síntese de quinoxalinas, uma vez que a presença de substituintes nos substratos permite a preparação de vários derivados (CHEESEMAN, 1978).

3.2 A Partir do M-Cresol (Figura 3)

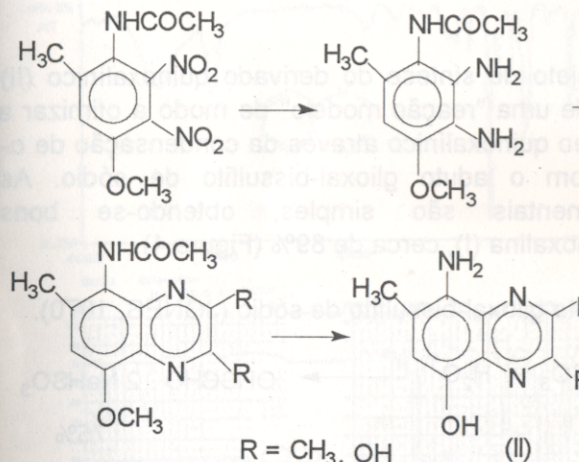
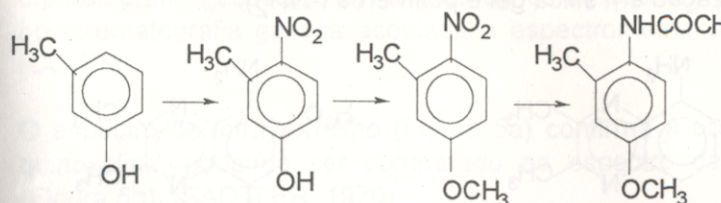


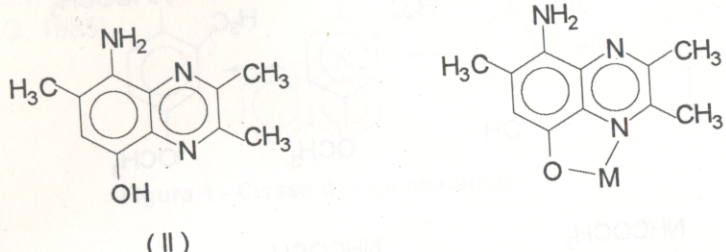
Figura 3 - Esquema de reação do derivado quinoxalínico (II) a partir do m-cresol

4. RESULTADOS E DISCUSSÃO

Das propostas sintéticas apresentadas, optamos em realizar a síntese do derivado de interesse 2,3,7-trimetil-5-hidroxi-8-aminoquinoxalina (II), a partir do m-cresol.

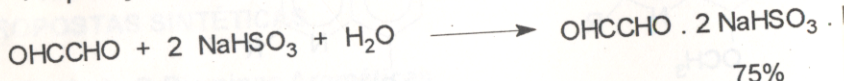
Esse reagente apresenta como aplicação analítica a complexação seletiva com os metais mercúrio, cobalto, cádmio e zinco (ASUERO, 1985 e OGUSHI, 1968). Além dos centros de complexação (N, O), também apresenta grupos que conferem à

molécula maior hidrofobicidade (-CH₃) e possibilidade de funcionalização em sílica gel e polímeros (-NH₂).



Desse modo, o projeto de síntese do derivado quinoxalínico (I) teve início a partir de uma "reação modelo" de modo a otimizar a preparação do núcleo quinoxalínico através da condensação de o-fenilenodiaminas com o aduto gioxal-bissulfito de sódio. As condições experimentais são simples, obtendo-se bons rendimentos da quinoxalina (I), cerca de 89% (Figura 4).

- Preparação do aduto gioxal-bissulfito de sódio (JONES, 1970).



- Preparação do núcleo quinoxalínico (CHEESEMAN, 1978).

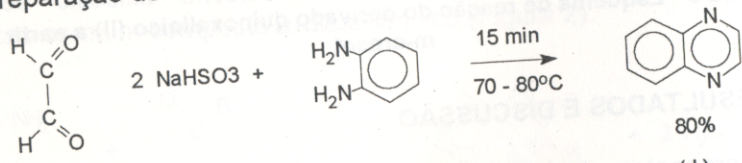


Figura 4 - Esquema de preparação do núcleo quinoxalínico (I)

Este processo é relativamente simples, envolvendo a condensação de o-fenilenodiamina com o aduto gioxal-bissulfito de sódio (2,4-pentanedione + 2 NaHSO₃) em temperatura ambiente, por 15 minutos, sob agitação.

A caracterização do produto foi feita por infravermelho (FT-IR), por cromatografia gasosa (CG) através de co-injeção com padrão e por cromatografia gasosa acoplada a espectrometria de massas (CG-EM).

O espectro de infravermelho (Figura 5a) confirma a obtenção da quinoxalina, podendo ser comparado ao espectro da literatura (Figura 5b), (SADTLER, 1970).

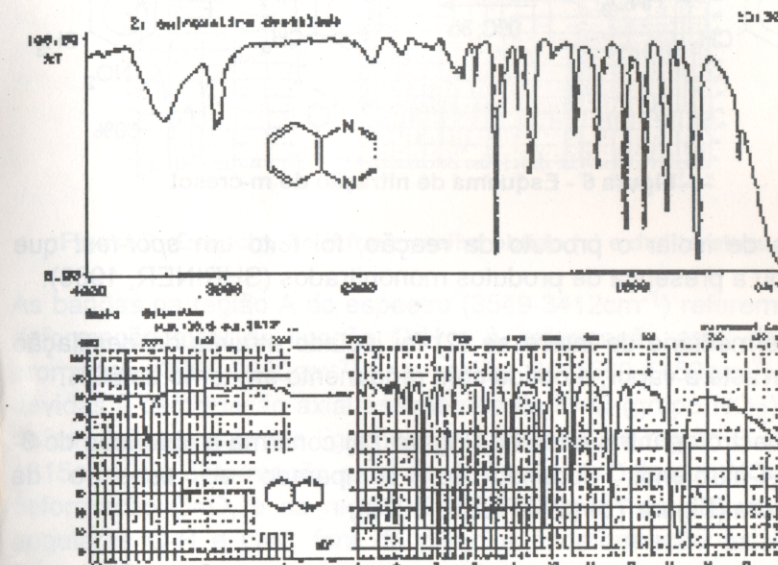


Figura 5 - Espectro de infravermelho obtido (a) e da literatura (b)

As bandas na região A do espectro (3060-3000cm⁻¹), referem-se às deformações axiais de C-H aromático; na região B(1500-1300cm⁻¹) são devidas às deformações axiais do anel para as ligações C-C e C-N, e na região C (756cm⁻¹), à deformação angular fora do plano das ligações C-H.

Uma vez otimizada a etapa de condensação para a formação do núcleo quinoxalínico, partimos para a síntese do derivado 2,3,7-trimetil-5-hidroxi-8-aminoquinoxalina, a qual envolve sete etapas, a partir do m-cresol.

A primeira etapa da síntese foi a reação de nitração (substituição eletrofílica) do m-cresol, que pode ocorrer nas posições orto e/ou para, em relação ao seu grupo ativante, (DEWAR, 1944) (Figura 6).

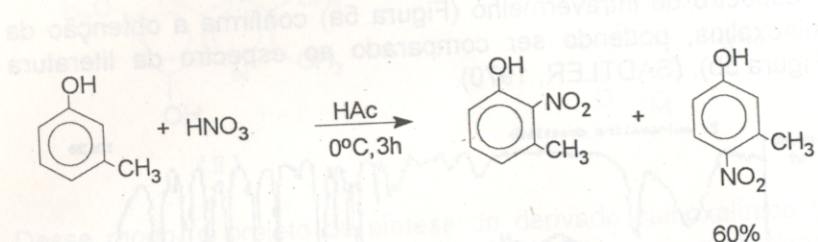


Figura 6 - Esquema de nitração do m-cresol

Antes de isolar o produto da reação, foi feito um *spot-test* que indicou a presença de produtos mononitrados (SHRINER, 1983).

O intermediário de interesse (2) foi isolado através de destilação por arraste a vapor, e obtido com rendimento em torno de 60%.

O espectro de infravermelho (Figura 7a) confirma a obtenção do 3-metil-4-nitrofenol, podendo ser comparado ao espectro da literatura (Figura 7b) (SADTLER, 1970).

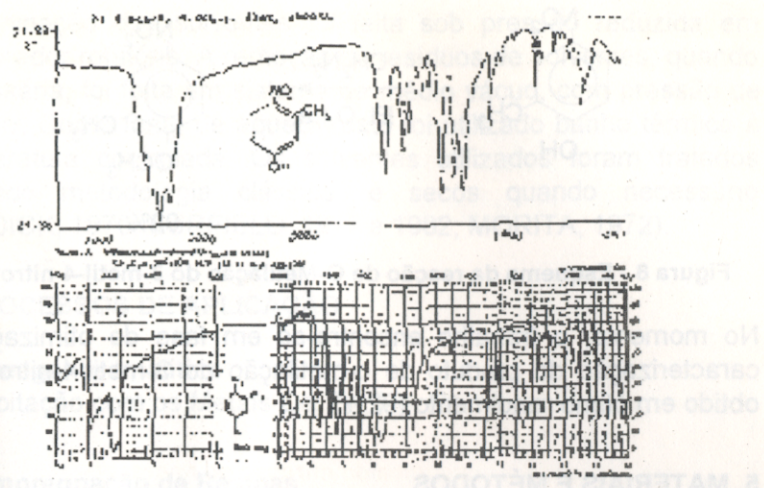


Figura 7 - Espectro do infravermelho obtido (a) e da literatura (b)

As bandas na região A do espectro ($3549-3412\text{cm}^{-1}$) referem-se à deformação axial da ligação O-H e à deformação axial do C-H aromático ($3060-3000\text{cm}^{-1}$); na região B ($1590-1450\text{cm}^{-1}$), são devidas à deformação axial assimétrica do N=O (grupo NO_2) e às deformações axiais das ligações C=C do anel; na região C ($1383-1215\text{cm}^{-1}$), à deformação axial simétrica do N=O (grupo NO_2) e à deformação C=O, e na região D ($862-690\text{cm}^{-1}$) às deformações angulares C-H e C=C fora do plano e à deformação axial C-N (grupo NO_2).

A etapa seguinte da síntese consiste na reação de o-metilação da hidroxila fenólica do 3-metil-4-nitrofenol, com a finalidade de proteção desse grupo para uma posterior redução do grupo nitro a amino (Figura 8).

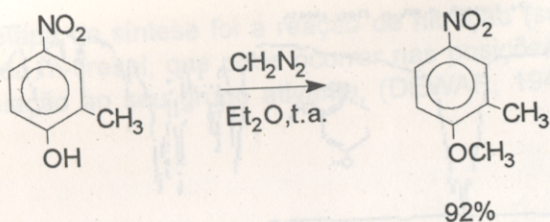


Figura 8 - Esquema da reação de O-Metilação do 3-metil-4-nitrofenol

No momento, o trabalho encontra-se em fase de otimização e caracterização do produto de o-metilação do 3-metil-4-nitrofenol, obtido em ótimo rendimento (92%).

5. MATERIAIS E MÉTODOS

Os pontos de fusão (P.F.) foram determinados em placa aquecedora Koffler, e os valores obtidos foram corrigidos por curva de calibração (IQ-UFRJ). Os espectros de massas de baixa resolução (EM) foram obtidos a 70eV em aparelho HP-5987-EM, com representação automática por computador; os fragmentos foram descritos como relação entre unidades de massa atômica (u.m.a.) e a carga dos mesmos (m/z), e a abundância relativa expressa, para cada fragmento, em percentagem (IQ-UFRJ). Os espectros de absorção na região do infravermelho foram obtidos em espectrômetro Perkin-Elmer, série FT-IR, modelo/1600, usando pastilhas em brometo de potássio FT-IR, modelo/1600, usando pastilhas em brometo de potássio. Os anidro e/ou filmes de cloreto de sódio ou brometo de potássio. Os valores para as absorções foram referidos em número de onda, utilizando como unidade o centímetro recíproco (cm^{-1}), e os espectros foram calibrados com filme de poliestireno de 0,05mm de espessura nas absorções 3027, 1601 e 1028cm^{-1} (CETEM/CNPq). As reações foram acompanhadas por cromatografia em camada fina (ccf) e os produtos, após isolamento, purificados por cromatografia em coluna ou preparativa e/ou cristalização / sublimação.

A eliminação dos solventes foi feita sob pressão reduzida em evaporador rotatório. A remoção de resíduos de solventes, quando necessária, foi feita em sistema de médio vácuo, com pressão de 1,0 torr. Como fonte de aquecimento foi utilizado banho térmico à temperatura controlada. Os solventes utilizados foram tratados segundo metodologia clássica, e secos quando necessário (RIDDICK, 1970; BURFIELD, 1977 e 1982; MORITA, 1972).

6. PROCESSOS DE APLICAÇÃO

6.1. Reagente Analítico

Precipitação com os Metais Cd, Zn, Hg, Co

6.2. Impregnação de Resinas

Funcionalização de Sílica (Figura 9)

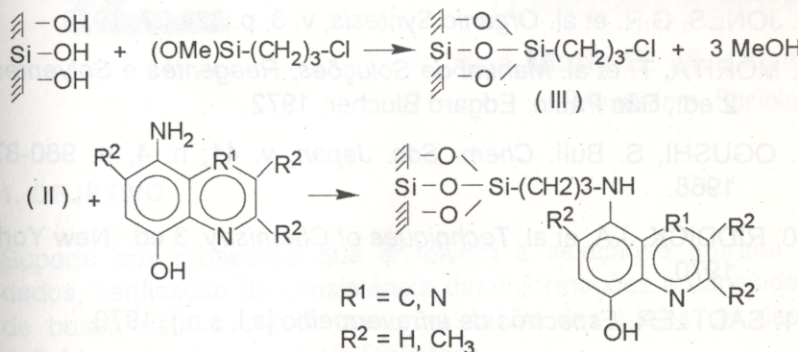


Figura 9 - Esquemas das reações de silanização e funcionalização da sílica gel com derivados quinolínicos e quinoxalínicos

7. CONCLUSÃO

A síntese desses reagentes analíticos possibilitará a sua utilização por métodos analíticos de via úmida, através da complexação e formação de precipitados com íons metálicos. Possibilitará, também, a impregnação ou mesmo a funcionalização de matrizes

poliméricas e sílica, permitindo o seu uso em sucessivas operações de recuperação de metais a partir de amostras líquidas e amostras de ar.

REFERÊNCIAS BIBLIOGRÁFICAS

1. ASUERO, A.G. et al. *Microchemical Journal*, v. 31, p. 81-93, 1985.
2. ALDRICH, Catalog Handbook of Fine Chemicals (1992-1993).
3. BURFIELD, D.R. et al. *J. Org. Chem.*, v. 42, n.18, p. 3060-5, 1977.
4. BURFIELD, D.R. *J. Org. Chem.*, v. 47, p. 3821-4, 1982.
5. CHEESEMAN, G.W.H. et al. *Adv.Heterocyc.Chem.*, v. 22, p. 367-431, 1978.
6. DEWAR, J.S. *Journal Chem. Society*, p. 619, 1944.
7. JONES, G.R. et al. *Organic Sythesis*, v. 3, p. 824-27, 1970.
8. MORITA, T. et al. *Manual de Soluções, Reagentes e Solventes*. 2 ed., São Paulo: Edgard Blucher, 1972.
9. OGUSHI, S. *Buií. Chem. Soc. Japan*, v. 41, n. 4, p. 980-87, 1968.
10. RIDDICK, J.A. et al. *Techniques of Chemistry*, 3 ed., New York, 1970.
11. SADTLER, *Espectros de Infravermelho* [s.l., s.n.], 1970.
12. SAKATA, G. et al. *Heterocycles*, v. 27, n. 10, p. 2481-515, 1988.
13. SHRINER, R.L. et al.; *The Systematic Identification of Organic Compounds*, 5 ed., New York, Willey & Sons, 1964.



Projeto de Informatização da Biblioteca

Jessé de Pina Coutinho
Bolsista de Inic. Científica, Adm. de Empresas, Univ. Santa Úrsula

Marcello Varella Biagi
Co-orientador, Analista de Sistemas

Sheila Maria Vianna Coutinho
Co-orientadora, Bibliotecária

Ana Maria B. M. Cunha
Orientadora, Socióloga

1. OBJETIVO

Suporte aos processos que envolvem a seleção e entrada de dados, verificação da consistência das informações e capacidade de busca para o estudo e normatização das bases de dados definidas e implantadas pela Biblioteca.

2. METODOLOGIA

Através da utilização do soft Micro-ISIS para catalogação bibliográfica, são executadas as tarefas de levantamento dos dados bibliográficos através de planilhas específicas, da modelagem final das informações, entrada de dados no